# MASSENSPEKTROMETRIE VON FLAVONOID-O-GLYKOSIDEN – I

### H. WAGNER\* und O. SELIGMANN

Institut für Pharmazeutische Arzneimittellehre der Universität München

(Received in Germany 28 March 1973; Received in UK for publication 5 June 1973)

Zusammenfassung – 13 natürlich vorkommende Flavonol-O-monoglykoside und 12 Flavonol-bis-O-glykoside wurden im Mikromassstab permethyliert und von den Permethylprodukten die Massen-Spektren aufgenommen. Die Analyse dieser Spektren liefert eine einfache und schnelle Methode, um bei Monoglykosiden die Zuckerhaftstelle zu lokalisieren und bei Flavonol-3,7-O-bis-glykosiden zwischen den möglichen Isomeren zu unterscheiden.

Abstract – Thirteen naturally occurring flavonol-O-monoglycosides and twelve flavonol-bis-O-glycosides were permethylated in micro-scale and subjected to mass spectrometry. Analysis of the spectra yielded a simple and quick method for determining the linkage position of the sugar in monoglycosides and for differentiating between possible isomers in the case of flavonol-3,7-bis-O-glycosides.

Es gibt eine Vielzahl von natürlichen Flavonol-bis-O-glykosiden, aus denen durch Hydrolyse verschiedene Zucker erhalten werden. Durch Reaktion mit Salz- und Komplex-bildenden Agentien and UV-Spektroskopie<sup>2,3,4</sup> lässt sich meist schnell ermitteln, in welchen Positionen des Aglukons die Zucker gebunden sind. In letzter Zeit wird auch die NMR-Spektroskopie<sup>4</sup> zum Nachweis der Zuckerhaftstelle herangezogen. Schwierigkeiten bereitet es aber oft, die verschiedenen Zucker den richtigen Positionen am Aglykon zuzuordnen. Nach den systematischen Untersuchungen von Harborne<sup>5,6</sup> eignen sich hierzu die Verfahren der selektiven und partiellen enzymatischen und sauren Hydrolyse. Die Geschwindigkeit einer Hydrolyse hängt dabei wesentlich von der Art der Zucker und der Verknüpfungsstelle am Aglukon ab. Diese Hydrolysen verlaufen aber abgesehen von dem Zeit aufwand oft nicht eindeutig genung und setzen reine Enzympräparate voraus. So wird z.B. von einer 50%igen Hydrolyse für Kämpferol-3-Oglucosid nach 1.8 Minuten und für das Kämpferol-7-O-rhamnosid nach 2.0 Minuten berichtet.

Die Massenspektrometrie bietet demgegenüber die Möglichkeit einer sicheren Differenzierung im Mikromassstab und in kürzester Zeit. Mit Ausnahme der Flavonoid-C-glykoside, die von Prox<sup>7</sup> untersucht wurden, eignen sich die *freien* Glykoside weniger für die MS. Deshalb haben auch Schmid und Mitarbeiter<sup>8,9</sup> zur MS-Strukturermittlung und Identifizierung von Flavonoid-di- und trisacchariden die per-(deutero)-methylierten Verbindungen eingesetzt. Nach unseren Erfahrungen eignen sich ebenfalls die permethylierten Monound bis-O-glykoside am besten für die Massenspektroskopie.

Die dominierende Fragmentierung dieser Ver-

bindungen ist die Zuckerabspaltung vom Aglukon unter H-Wanderung (A+H, A+2H), während die Aglukonfragmentierung wenig signifikante Bruchstücke liefert (Abb 1). Der Molekül-Peak tritt nur bei den 7-O-Glykosiden deutlich in Erscheinung. In allen anderen Fällen ist er sehr schwach ausgeprägt oder er fehlt ganz.

Unsere MS-Studien an 13 Flavon- und Flavonolmonoglykosid-permethyl-äthern (PMA) haben ergeben, dass die in 5- und 3-Stellung gebundenen Zucker leichter abgespalten werden, als diejenigen in 7-Stellung. In 4'-Stellung substituierte Zucker nehmen eine Zwischenstellung ein. Dieses Verhalten deckt sich mit den Ergebnissen der Säure-Hydrolyse. Wie aus Tabelle 1 ersichtlich, zeigen deshalb Flavon- und Flavonol-7-O-mono-glykoside einen relativ intensiven Molekülion-Peak. Die untersuchten 5-O- und 3-O-Glykoside zeigen keinen erkennbaren M+-Peak, das einzige untersuchte 4'-O-Glucosid einen schwachen aber noch deutlich erkennbaren M+-Peak. Das Aglukonsignal ist bei Flavonoid-glykosid-permethyläthern stets sehr intensiv und manchmal als Base-Peak ausgebildet.

Setzen wir diesen bei der Auswertung gleich 100% rel. Intensität, so ergeben sich für die Molekülkationen von Quercetin-7-O-glucosid 90%, von Luteolin-7-O-glucosid 50%, von Luteolin-7-O-neohesperidosid 10%, von Quercetin-4'-O-glucosid 3% rel. Intensitäten, für Quercetin-3-O-monoglykoside dagegen 0·1 bis 0·2% und weniger. Die 3-O-Glucuronide zeigen davon abweichend eine rel. Intensität von ca. 2%. Auf Grund der charakteristischen MeOH-Abspaltung aus dem bei der Methylierung gebildeten ME sind die Glucuronide leicht zu erkennen.

In Tabelle 2 sind 12 Flavonol-3,7-bis-glykoside

Tabelle 1

	Tabelle I			
		(100%		
	m/e	Rel.		(% rel.
	A + H	Int.)	m/e	Int.)
Luteolin-7-glucosid-PMÄ	328		M <sup>+</sup>	
	J20		546	(50%
Luteolin-7-neohes-	328		M <sup>+</sup>	(5070
peridosid-PMÄ	A + 2H		720	(10%)
periodiu-rina	329	(95%)	M-Rha	(1070)
	327	(7570)	517	(12%)
Luteolin-5-glucosid-PMÄ	328		M <sup>+</sup>	(1270)
= Galuteolin	320		546	φ
Chrysoeriol-7-glucuronid-ME-PMA	i 328		M+	Ψ
City soerior-/-gluculonia-wie-r wia	1 320		560	(45%)
			M-MeoH	(4370)
			528	(40%)
Quercetin-7-glucosid-PMÄ	358		M+	(4070)
= Ouercimeritrin	330		576	(90%)
Quercetin-4'-glucosid-PMÄ	358		M+	(7070)
= Spiraeosid	330		576	(3%)
- Spiracosiu			M+1	(370)
			557	(3%)
Quercetin-3-glucosid-PMÄ	358		M+	(370)
= Isoquercitrin	220		576	(0.1%)
Quercetin-3-galaktosid-PMÄ	358		M+	(0 170)
= Hyperosid	336		576	(0.2%)
Quercetin-3-rhamnosid-PMÄ	358		M+	(0 270)
= Ouercitrin	330		546	(0.2%)
Quercetin-3-glucuronid-ME-PMÄ	358		M+	(0 270)
	550		590	(2%)
			M-MeOH	(270)
			588	(1%)
Quercetin-3-rutinosid-PMÄ	358		M <sup>+</sup>	(170)
= Rutin	A+Glu		750	φ
- Ruffill	545	(0.3%)	750	Ψ
Rhamnetin-3-rhamno-rhamno-	358	(0 370)	M <sup>+</sup>	
galaktosid-PMÄ	330		924	φ
= Xanthorhamnin			M-Disacch.	Ψ
- Adiitiornaliiliii			358	(20%)
Kämpferol-3-(p-Cumaroyl)-	328		M+	(2070)
glucosid-PMÄ	320		692	φ
= Tilirosid			p-Cumaroyl.	Ψ
— 1 iiii 03iu			161	(125%)
				(12370)

mit den entsprechenden Peak-Intensitäten aufgeführt. Die Signale, die ein Bruchstück M — (3-O-Zucker) wiedergeben, liegen zwischen 40 und 50% rel. Intensität. Die M — (7-O-Zucker)-Bruchstücke ergeben bezogen auf den A + 2H-Peak, Peak-Intensitäten unter 1%. Die M+Signale sind hier noch schwächer und meist nicht zu erkennen. Triglykoside mit einem Biosidanteil wie z.B. das Robinin verhalten sich in gleicher Weise. Die Fragmentierungen sind so zu deuten, dass 3-Glykoside ebenso wie 5-Glykoside infolge Ausbildung eines 5-Ring bzw. 6-Ring-Chelates mit der Carbonylgruppe den Zucker leicht abspalten, während bei 7- und 4'-O-gebundenen Zuckern keine solche Stabilisierungsmöglichkeiten gegeben sind. Auch

thermische Fragmentierungen sind nicht auszuschliessen.

Wie aus der Tabele 2 und Abb 2 deutlich wird, kann bei 3,7-Bis-glykosiden die Verteilung der Zuckerkomponenten aus den Spektren direkt abgelesen werden, da A+H+Monosaccharid-Fragmente von hoher rel. Intensität immer die Zuckerart am C<sub>7</sub> wiedergeben. Die beiden miteinander isomeren Verbindungen Isorhamnetin-3-gluco-7-rhamnosid-PMÄ (1) und Isorhamnetin-3-rhamno-7-glucosid-PMÄ (2) können ebenso wie Isorhamnetin-3-arabino-7-glucosid-PMÄ (3) und Isorhamnetin-3-arabino-7-glucosid-PMÄ (4) somit leicht auf Grund der beiden miteinander korrespondierenden Peak-Intensitäten unterschieden werden:

A + H + Rha m/e 532 (40%)
A + H + Glu m/e 562 (42%)

<sup>3.</sup> A + H + Ara m/e 518(40%) 4. A + H + Glu m/e 562(45%)

A + H + Glu m/e 562 (0.5%)A + H + Rha m/e 532 (1.4%)

A + H + Glu m/e 562(0.5%)

A + H + Ara m/e 518(1%)

Tabelle 2

	i abelle 2			
		(100%		
	m e	rel.		(% rel.
	A + 2H	Int.)	mle	Int.)
To a decrease 2 and a			A . 11 . 191	
Isorhamnetin-3-gluco-	344		A + H + Rha	(4000)
7-rhamnosid-PMÄ (1)			532	(40%)
			A + H + Glu 562	(0.50%)
Isorhamnetin-3-rhamno-	344		362 A + H + Glu	(0.5%)
7-glucosid-PMÄ (2)	J <del>17</del>		562	(42%)
			A + H + Rha	(4270)
			532	(1.4%)
Quercetin-3-rhamno-7-	344		A + H + Glu	(1 4/0)
glucosid-PMÄ <sup>(a)</sup>	511		562	(50%)
g.accond 1 min			A + H + Rha	(5070)
			532	(0.8%)
Isorhamnetin-3-gluco-	344		A + H + Ara	(0 0,0)
7-arabinosid-PMÄ(3)			518	(40%)
= Hunnemanosid			A+H+Glu	( )
			562	(0.5%)
Isorhamnetin-3-arabino-	344		A + H + Glu	
7-glucosid-PMÄ (4)			562	(45%)
			A + H + Ara	
			518	(1%)
Quercetin-3-xylo-	344		A + H + Glu	
7-glucosid-PMÄ <sup>(a)</sup>			562	(48%)
			A + H + XyI	
			518	(0.7%)
Kämpferol-3-arabino-7- rhamnosid-PMÄ <sup>(b)</sup>	314		A + H + Rha	
			502	(44%)
			A + H + Ara	(0.50)
Inonhammatin 2.7	244		488	(0.5%)
Isorhamnetin-3,7- diglucosid-PMÄ	344		A + H + Glu 562	(4407)
Kämpferol-3,7-dirhamnosid-	314		302 A + H + Rha	(44%)
PMÄ = Kämpferitrin	314		502	(470%)
Rutin-7-glucosid-PMÄ <sup>(a)</sup>	344		302 A + H + Clu	(47%)
Ruthi-/-glucosid-1 W/A	344		562	(48%)
			A + H + Rutin	
			736	σsc
Kämpferol-3-robinobiosido-	314		A + H + Rha	Ψ
7-rhamnosid-PMÄ	211		502	(46%)
= Robinin			A + H + Robin	
	706 φ			
Apigenin-7,4'-	284		A+H+Glu	*
diglucuronid-ME-PMÄ	·		516	(45%)
			A+H+(Gluc	
			484	(50%)
			M+748	(1.8%)

Wie das Beispiel des Tilirosids zeigt, kann bei Acylglykosiden ausgeschlossen werden, dass der Acylrest an das Aglukon gebunden ist.

Bei Flavanonglykosiden findet man, da unter den stark alkalischen Bedingungen der Methylierung Ringöffnung zum Hydroxy-Chalkon erfolgt, eine zusätzliche Methylgruppe im Spektrum. Die Bruchstücke der Aglykon-Fragmentierung, wie sie von Kingston<sup>10</sup> sowie Reed und Wilson<sup>11</sup> beschrieben wurden, sind von geringerer Intensität, können aber gelegentlich zu Unterstützung bei der Strukturaufklärung dienen. Es handelt sich z.B. um die RDA- und A1, A-15, A-17, A-18, A-43-Fragmente.

Für die Zuckerfragmentierung gelten die von

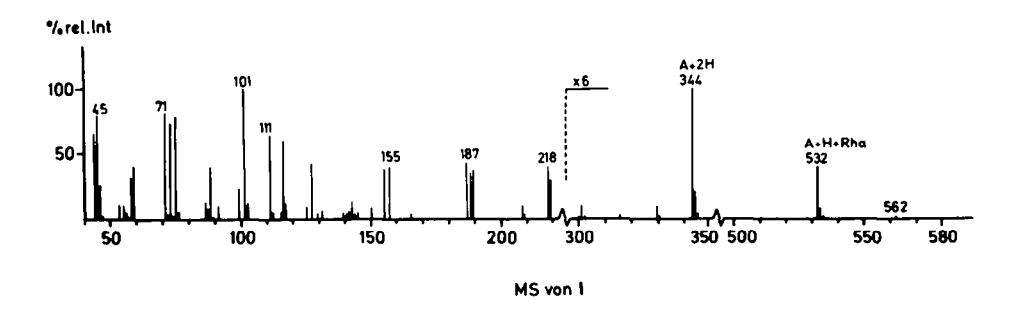
Kochetkov und Mitarbeitern<sup>12</sup> für Phenyl-glucosidpermethyläther angegebenen Regeln. Die Glucose zeigt z.B. die charakteristische Fragmentierung: m/e 218  $\rightarrow$  187  $\rightarrow$  155  $\rightarrow$  111  $\rightarrow$  101. Glucoseund Galactoseanteile lassen sich auf diese Weise nicht unterscheiden.

Nach Fertigstellung der Arbeit erhaltenes Quercetin-3'-O-glucosid<sup>(a)</sup> zeigte nach Permethylierung eine rel. Int. des M<sup>+</sup>-Peaks von 8%, das Quercetin-5-O-glucosid<sup>(a)</sup> eine solche von 0,2%.

#### **EXPERIMENTELLES**

#### 1. Darstellung der Permethyläther

Die Permethylierungen erfolgten nach Hakomori<sup>13</sup> in DMSO oder DMF als Lösungsmittel. <sup>14</sup> 0-1-1 mg Glyko-



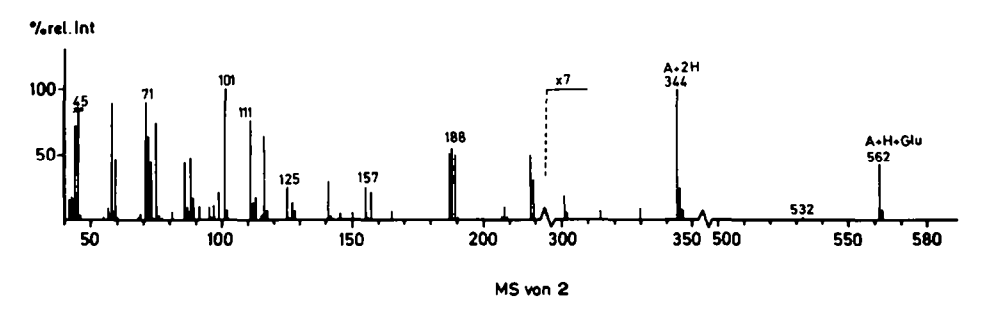


Abb. 2

side wurden in 0.5 ml wasserfreiem Solvens gelöst und mit 2 mg NaH-Pulver und 1 ml CH<sub>3</sub>J unter N<sub>2</sub>-Atmosphäre bei Raumtemperatur zur Reaktion gebracht. Nach einer Stunde wurde mit 2 mal 10 ml Äther ausgeschüttelt. Das zurückbleibende Öl wurde bei 10<sup>-1</sup> Torr getrocknet und im Direkteinlass des Massenspektrometers MS-30 (AEI) gemessen. Verdampfungstemperatur 180°, Ionenquellentemperatur 200-220°, Elektronenenergie 70 eV, Beschleunigungsspannung 2-4 KV. Die Intensitäten wurden logarithmisch aufgezeichnet.

## 2. Herkunft der Flavonoidglykoside

Die Glykoside wurden grösstenteils in den eigenen Laboratorien isoliert oder synthetisiert. Die in Tabelle 2 mit (a) bezeichneten Glykoside stammen aus der Sammlung von Prof. Farkas (Budapest), das mit (b) bezeichnete Glykosid aus der von Prof. Egger (Heidelberg).

Danksagung – Für die Überlassung von Flavonoidglykosiden danken wir den Herren Professoren Farkas (Budapest) und Egger (Heidelberg). Der Deutschen Forschungsgemeinschaft sind wir für die großzügige Förderung des Naturstoffprogramms durch Bereitstellung eines MS-30-Gerätes zu grossem Dank verpflichtet.

### LITERATUR

- <sup>1</sup>J. B. Harborne, Comparative Biochemistry of the Flavonoids, Academic Press, London and New York (1967)
- <sup>2</sup>L. Jurd and R. M. Horowitz, J. Org. Chem. 22, 1618 (1957)
- 3L. Jurd, Phytochem. 8, 445 (1969)
- <sup>4</sup>T. J. Mabry, K. R. Markham, M. B. Thomas, *The Systematic Identification of Flavonoids*, Springer Verlag, Berlin-Heidelberg-New York (1970)

- <sup>5</sup>J. B. Harborne, *Phytochem.* **4**, 107 (1965)
- <sup>6</sup>J. B. Harborne, *Ibid.* 3, 151 (1964)
- <sup>7</sup>A. Prox, Tetrahedron, 24, 3697 (1968)
- <sup>8</sup>R. D. Schmid, *Ibid*. 28, 3259 (1972)
- <sup>9</sup>R. D. Schmid, P. Varenne and R. Paris, *Ibid*, 28, 5037 (1972)
- <sup>10</sup>D. G. J. Kingston, *Ibid*, 27, 2691 (1971)
- <sup>11</sup>R. I. Reed and J. M. Wilson, J. Chem. Soc., 5949 (1963)
- <sup>12</sup>N. K. Kochetkov, N. S. Wulfson, O. S. Chizhov and B. M. Zolotarev, *Tetrahedron*, 19, 2209 (1963)
- <sup>13</sup>S. Hakomori, *J. Biochem.* **55**, 205 (1964)
- <sup>14</sup>J. S. Brimacombe, B. D. Jones, M. Stacey and J. J. Willard, *Carbohyd. Res.* 2, 167 (1966)